



بررسی تأثیر استوانه چرخان و غلظت پلیمر بر ریخت‌شناسی نانوالیاف الکتروریسی شده TiO_2/PVP

ثريا ميرمحمدصادقی^۱, محمدرضا واعظی^{۱*}, اصغر کاظم‌زاده^۲

^۱پژوهشکده فناوری نانو و مواد پیشرفته، پژوهشگاه مواد و انرژی، مشکین دشت، البرز، ایران

^۲پژوهشکده نیمه هادی‌ها، پژوهشگاه مواد و انرژی، مشکین دشت، البرز، ایران

چکیده در این پژوهش، نانوالیاف الکتروریسی شده TiO_2/PVP با استفاده از دو نوع جمع‌کننده‌ی صفحه تحت ساکن و استوانه چرخان تهیه شدند و اثر نوع جمع‌کننده و غلظت پلیمر PVP در محلول سلول TIP/PVP (۳، ۵ و ۷ درصد وزنی) بر ریخت‌شناسی نانوالیاف تهیه شده، به کمک تصاویر SEM و تعیین میانگین قطر نانوالیاف و انحراف معیار آن‌ها، بررسی شدند. سرعت چرخش استوانه برای همه نمونه‌های تهیه شده با آن ۵۰۰ دور در دقیقه بود، در حالی که دیگر شرایط الکتروریسی اعم از ولتاژ، سرعت تزریق، فاصله نوک سوزن تا سطح جمع‌کننده و نوع سوزن برای هر جفت از نمونه‌های تهیه شده از هریک از محلول‌های سلول و دو نوع جمع‌کننده یکسان بود. میانگین قطر نانوالیاف TiO_2/PVP تولید شده با استوانه چرخان و انحراف معیار آن از 58 ± 144 نانومتر (از سلول حاوی ۳ درصد وزنی PVP و تحت ولتاژ ۱۰ کیلوولت) به 71 ± 122 نانومتر (از سلول ۵ درصد وزنی PVP و تحت ولتاژ ۱۵ کیلوولت) کاهش نشان داد که به مرتب کمتر از نمونه‌های مشابه تولید شده با صفحه تحت ساکن بودند. با افزایش غلظت پلیمر به ۷ درصد وزنی، میانگین قطر نانوالیاف TiO_2/PVP تولید شده با استوانه چرخان و صفحه تحت ساکن به ترتیب 135 ± 292 و 122 ± 258 نانومتر بدست آمد. این نتایج نشان می‌دهد که با افزایش غلظت پلیمر در محلول سلول TIP/PVP، باید سرعت چرخش استوانه جمع‌کننده را مناسب با آن افزایش داد تا بتوان نانوالیاف با قطر مورد نظر تولید کرد.

<https://doi.org/10.30501/jamt.2021.233515.1095>

URL: http://www.jamt.ir/article_128380.html

JAMT: Vol. 9, No. 4, (Winter 2021), 59-69

Effects of Rotating Drum and Polymer Concentration on Morphology of Electrospun TiO_2/PVP Nanofibers

Sorayya Mirmohammad Sadeghi¹, Mohammadreza Vaezi^{1*}, Asghar Kazemzadeh²

¹Department of Nanotechnology and Advanced Materials, Materials and Energy Research Center (MERC), MeshkinDasht, Alborz, Iran

²Department of Semiconductors, Materials and Energy Research Center (MERC), MeshkinDasht, Alborz, Iran

Paper History:

Received: 2020-06-13

Revised in revised form: 2020-07-15

Accepted: 2021-03-19

Abstract In this research work, electrospun TiO_2/PVP nanofibers were prepared by using two different collectors, i.e., flat stationary plate and rotating drum. The effects of these collectors in conjunction with polymer concentration in TIP/PVP sol solutions (i.e., 3, 5, and 7 wt. %) were investigated on morphologies of the as-spun TiO_2/PVP composite nanofibers. SEM micrographs were used for determination of the average

*عهده دار مکاتبات

نشانی: ایران، البرز، مشکین دشت، پژوهشگاه مواد و انرژی، پژوهشکده فناوری نانو و مواد پیشرفته، تلفن: ۰۲۶-۳۶۲۸۰۰۴۰، دورنگار: ۰۲۶-۳۶۲۰۱۸۸۸

پیام نگار: m_r_vaezi@merc.ac.ir

Please cite this article as: Mirmohammad Sadeghi, S., Vaezi, M. R., Kazemzadeh, A., "Effects of rotating drum and polymer concentration on morphology of electrospun TiO_2/PVP nanofibers", *Journal of Advanced Materials and Technologies (JAMT)*, Vol. 9, No. 4, (2021), 59-69. (<https://doi.org/10.30501/jamt.2021.233515.1095>).



Keywords:
Electrospinning,
 TiO_2/PVP Nanofibers,
Rotating Drum,
Flat Stationary Plate,
Morphology

nanofiber diameters and their standard deviations (SDs). Rotating speed of the collecting drum was set at 500 rpm for all samples prepared by it, while other electrospinning parameters (i.e., applied voltage, flow rate, tip-to-collector distance, and needle gage) were the same for the counterpart samples prepared from each of sol solutions by two types of collectors, throughout the experiment. It was observed that TiO_2/PVP nanofibers electrospun by rotating drum have average diameters and SD of 144 ± 58 nm (from sol solution with 3 wt. % PVP at applied voltage of 10 kV) and 122 ± 71 nm (from sol solution with 5 wt. % PVP at applied voltage of 15 kV). These magnitudes were pretty much lower than the average diameters of TiO_2/PVP nanofiber prepared by a flat stationary plate. The average diameters of TiO_2/PVP nanofiber prepared by flat stationary plate and rotating drum were 258 ± 122 and 292 ± 135 nm, respectively when polymer concentration in TIP/PVP sol solution increased to 7 wt. %. It is clearly shown that by increasing polymer concentration in electrospinning solution, the average diameter of the electrospun TiO_2/PVP nanofibers increased, afterward. Therefore, rotational speed of collecting drum should be increased rationally if there is a need for preparation of finer electrospun nanofibers.

<https://doi.org/10.30501/jamt.2021.233515.1095>

URL: http://www.jamt.ir/article_128380.html

باشد؟ سبزرو و همکاران [۲] مشاهده کردند که برای محلول پلیمری حاوی نانوذرات مغناطیسی، با تغییر سطح جمع‌کننده از صفحه ساکن به استوانه چرخان، قطر نانوالياف الکتروریسی شده افزایش یافته است. در یک تحقیق دیگر، نانوالياف TiO_2/PVP با به کارگیری استوانه چرخان با سرعت ثابت ۴۰۰ دور در دقیقه و سرعت‌های تزریق ۱ تا ۲/۵ میلی‌لیتر در ساعت، تهیه شدند که افزایش سرعت تزریق محلول سُل، باعث افزایش قطر نانوالياف شد [۱۰].

ازین‌رو، برای بررسی اثر استفاده از استوانه چرخان بر ریخت‌شناسی نانوالياف الکتروریسی شده TiO_2/PVP ، به نتایج کارآزمایی و مقایسه آن‌ها نیازمندیم. ما در مطالعات پیشین، تأثیر پارامترهای پتانسیل اعمال شده، غلظت پیش‌ماده تیتانیم ایزوپروپوکسید (TIP) [۱۱] و غلظت پلیمر پلی وینیل پیرولیدون (PVP) و سرعت تزریق [۱۲] را بر قطر نانوالياف الکتروریسی شده TiO_2/PVP برای صفحه جمع‌کننده ساکن بررسی کردیم. در این مطالعه، نانوالياف TiO_2/PVP با استفاده از استوانه چرخان، الکتروریسی شده‌اند و ریخت‌شناسی آن‌ها (با تعیین میانگین قطر نانوالياف و انحراف معیار آن)، با نتایج آزمایش‌های مربوط به صفحه ساکن، مقایسه و بحث شده است. برای این منظور، نمونه‌هایی با جمع‌کننده استوانه چرخان و صفحه ساکن، در شرایط الکتروریسی یکسان، تهیه و باهم مقایسه شده‌اند تا اثر نوع جمع‌کننده بر روی قطر نانوالياف هر جفت نمونه تهیه شده از هر یک از محلول‌های سُل به‌دست آید تا افزون بر حفظ ریخت‌شناسی نانوالياف، بتوان به کیفیت و خصوصیات مطلوب آن‌ها نیز اشراف یافت.

۲- روش الکتروریسی و مزایای آن

الکتروریسی یک روش آسان و در دسترس برای تولید الیاف بسیار نازک است. در اثر گسترش روش‌های این فناوری

الکتروریسی به عنوان روشی برای ساخت غشاها و لایه‌های بی‌بافت از نانوالياف شناخته می‌شود و به کار می‌رود. این ساختار، به‌واسطه نشست تصادفی نانوالياف بر سطح جمع‌کننده‌ای ایجاد می‌شود که معمولاً از نوع جمع‌کننده رسانای جامد به صورت ساکن است [۱].

جمع‌کننده‌های رسانای جامد متحرک از جمله ابزارهای معرفی شده برای به‌دست آوردن نانوالياف با ساختار منظم محسوب می‌شوند [۲-۴] که برای تولید نانوالياف هم‌جوار و یا لایه‌های ضخیم نانوالياف به کار می‌رond. ضخامت لایه بی‌بافت حاصل از نانوالياف الکتروریسی شده در بیشترین حالت به ۱ میلی‌متر می‌رسد [۵].

الکتروریسی بر روی یک استوانه چرخان از جمله روش‌های متداول برای افزایش بازده جمع‌آوری نانوالياف است که در عین حال، نوع نشست نانوالياف را نیز کترل می‌کند و با هم‌جواری نانوالياف، ساختار ایجاد می‌کند [۶]. این ساختار می‌تواند بر کارکرد لایه الکتروریسی شده اثر بگذارد؛ به عنوان مثال، نتایج یک تحقیق نشان داده است که در نانوژنراتورهای پیزوالکتریکی (PENG) به دلیل افزایش سطح سایشی میان الیاف الکتروریسی شده هم‌جوار در لایه فعال آن، خروجی الکتریکی بیشتر از حالتی بوده است که الیاف لایه فعال آن دارای ساختار تصادفی بوده‌اند [۷].

سرلک و همکاران [۸] نشان دادند که غلظت پلیمر مهم‌ترین پارامتر در تعیین قطر الیاف محسوب می‌شود. از سوی دیگر، با تنظیم قطر نانوالياف می‌توان تخلخل و اندازه حفرات غشای حاصل را تنظیم کرد [۹].

آیا در این باره می‌توان گفت که قطر نانوالياف، به عنوان مهم‌ترین عامل تأثیرگذار بر ریخت‌شناسی لایه‌ها و غشاها حاصل از الکتروریسی؛ می‌تواند متأثر از نوع جمع‌کننده نیز

۱-۲- اصول حاکم بر روش الکتروریسی

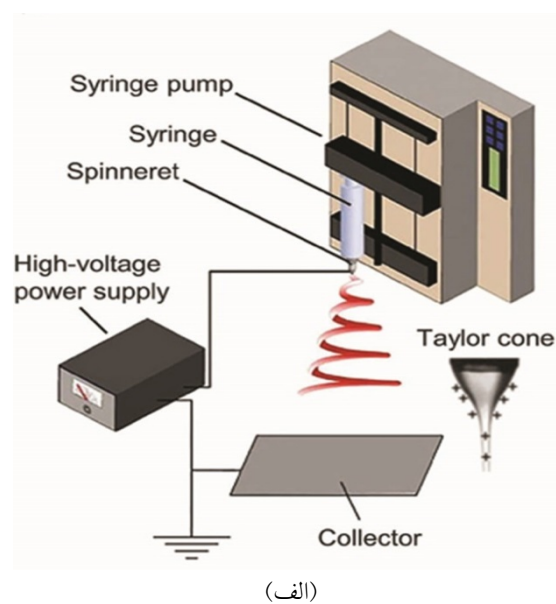
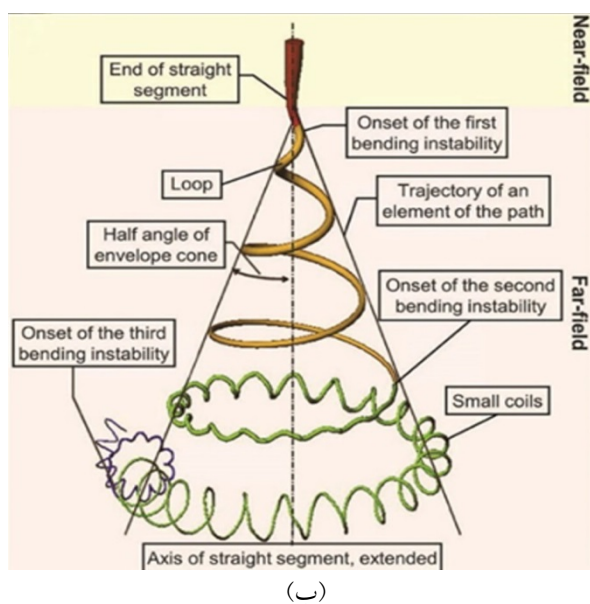
الکتروریسی نوعی فرایند «الکتروهیدرودینامیک» است که طی آن، یک قطرک مایع، دارای بار الکتریکی می‌شود و در اثر میدان الکتروستاتیکی، جریان سریع مایع (جت) تولید می‌کند که باعث کشیدگی و طویل شدن آن و تبدیل شدن به لیف (الیاف) می‌شود. اجزای دستگاهی تشکیل‌دهنده این روش عبارت‌اند از منبع تولید پتانسیل بالا، پمپ تزریق، جزء ریسنده (معمولًا یک سوزن تزریق زیرجلدی که سر آن بریده و سنباده شده است) و یک صفحه رسانا برای جمع کردن الیاف (شکل ۱ (الف)).

هنگام الکتروریسی، محلول به صورت قطرک‌هایی در سر سوزن جمع می‌شود که به کشش سطحی محلول بستگی دارد. پس از الکتریسته دار شدن، نیروی دافعه بین این بارهای الکتریکی همنام در سطح قطرک، باعث تغییر شکل آن به صورت مخروط می‌شود (مخروط تیلور) که از رأس این مخروط، جریان سریع مایع شکل می‌گیرد که دارای بار الکتریکی است.

این جریان سریع مایع در ابتدا به خط مستقیم حرکت می‌کند، ولی درنهایت، دچار حرکت‌های پیچشی شدید می‌شود. لیف در اثر کشیده شدن به دلیل ناپایداری‌های خمسی، باریک‌تر شده (شکل ۱ (ب)) و سپس جامد می‌شود. الیاف جامد شده بر روی صفحه جمع کننده - متصل به زمین، تجمع می‌یابند.

و مهندسی نانوالیاف الکتروریسی شده، پیشرفت‌های فراوانی در تهیه و کاربرد نانوالیاف، حاصل شده است که گستره وسیعی از افزارهای از غشاها پالاینده [۹ و ۵]، حامل‌های کاتالیستی [۱۳]، اجزاء ذخیره‌سازی / تبدیل / برداشت انرژی [۱۰ و ۱۴]، داربست‌های زیست‌پزشکی [۱۵ و ۱۶] و پوشش‌های زخم [۱۷] تا افزارهای الکتریکی [۱۸] و نوری [۱۹] را دربر می‌گیرد.

به طور کلی، روش الکتروریسی تولید الیاف پیوسته‌ای را امکان‌پذیر می‌سازد که قطر آنها در گستره چند ده نانومتر تا چندین میکرومتر است [۲۰]. به الیاف الکتروریسی شده‌ای که قطر آنها کمتر از ۵۰۰ نانومتر باشد، نانوالیاف اطلاق می‌شود. از ابتدای دهه ۱۹۹۰ میلادی، چندین گروه پژوهشی این فناوری را مورد توجه و بررسی مجدد قرار دادند [۲۱-۲۵]. آنها نشان دادند که محلول‌های مختلف پلیمری را می‌توان با این فناوری به نانوالیاف تبدیل کرد و عنوان «الکتروریسی» برای این روش عمومیت یافت. درنهایت، این روش برای تولید الیاف پیوسته و طویل با قطراهای در محدوده نانو تثیت شد. از ابتدای قرن حاضر، توانایی‌های روش الکتروریسی با تولید نانوالیاف کامپوزیتی و سرامیکی، گسترش یافته است [۲۶-۲۸]. نانوالیاف الکتروریسی شده که مهندسی شده‌اند، ترکیبات ویژه و ساختارهای نوآورانه‌ای پدید می‌آورند که آنها را برای کاربردهای پیشرفته‌تر مهیا می‌کند.



شکل ۱. (الف) اجزای سامانه الکتروریسی [۲۹] و (ب) طرحی از مسیر حرکت و تحول جریان سریع مایع در میدان الکتروستاتیکی [۳۰]

مرحله‌ای، این شتاب به صفر می‌رسد یا ثابت می‌ماند. هر تغییر کوچکی می‌تواند حرکت رو به جلوی جریان شتاب‌دار مایع را مخدوش کند [۳۲]. با این ترتیب، ناپایداری به سرعت ظاهر می‌شود که ناشی از دافعه الکتروستاتیکی بارهای الکتریکی سطحی جریان سریع مایع است، که رژیم میدان- دور را پدید می‌آورد. سه نوع ناپایداری می‌تواند در ناحیه میدان- دور، بر جریان سریع مایع دارای بار الکتریکی، اثر بگذارد [۲۵-۲۲] (شکل ۱ (ب)) که عبارت‌اند از:

۱- ناپایداری رایلی: باعث گستگی جریان سریع مایع به قطرک‌ها می‌شود که با اعمال میدان الکتریکی قوی، می‌توان آن را کاهش داد.

۲- تقارن محوری که همانند مورد اول بوده با این تفاوت که در میدان الکتریکی قوی‌تر از مورد قبلی، اتفاق می‌افتد.

۳- ناپایداری خمیشی که ناشی از تقارن غیر محوری است که به دلیل دافعه الکتروستاتیکی بین بارهای سطحی جریان شتاب‌دار مایع در یک میدان الکتریکی قوی پدید می‌آید [۳۱].

برهم‌کنش بارهای محصور در جریان سریع مایع و نیروی میدان الکتریکی خارجی، باعث ایجاد این سه نوع ناپایداری می‌شود که با تنظیم شرایط فیزیکی - شیمیایی محلول و پارامترهای الکتروریسی کنترل می‌شوند. طی ناپایداری خمیشی، در مدت زمان $0/05$ ثانیه یا کمتر، طول جریان سریع مایع می‌تواند تا 10000 بار افزایش یابد. درنتیجه، قطر جریان سریع مایع تا چندین مرتبه کاهش می‌یابد که به تشکیل یالافی با قطرهای زیر میکرون و حتی نانومتر منجر می‌شود [۳۳]: بنابراین اگر جریان سریع مایع قبل از مرحله ناپایداری خمیشی، جامد شود، قطر آن دیگر طی این فرایند کاهش نمی‌یابد. تبخیر حلال، باعث کاهش حجم و تغییر پارامترهای ویسکوالاستیک جریان سریع مایع، در طول مسیر حرکت آن می‌شود که مانع از کشیدگی هرچه بیشتر آن می‌گردد؛ بنابراین حلقه‌های کوچک‌تری در مسیر حرکت جریان سریع مایع شکل می‌گیرد. به دلیل حرکت خمیشی جریان سریع مایع، بخش اعظم از دیاد طول آن به واسطه ایجاد این حلقه‌ها است (شکل ۱ (ب)).

ایاف با جامد شدن جریان سریع مایع در مرحله طویل

با استفاده از پمپ تزریق، محلول با سرعت ثابت به سوزن تزریق می‌شود. ایجاد اختلاف پتانسیل بین نوک سوزن و صفحه جمع کننده، باعث می‌شود تا بارهای مثبت و منفی در محلول از هم جدا شوند و بارهای الکتریکی همنام با بار الکتریکی سوزن، به سطح قطره‌ی تشکیل شده منتقل شوند و بار الکتریکی تجمع یابد. با افزایش اختلاف پتانسیل، بار الکتریکی بیشتری بر سطح قطرک جمع می‌شود، به‌طوری‌که چگالی بار سطحی بر سطح قطرک افزایش می‌یابد. در مقابل، کشش سطحی قطرک تمایل دارد که با کاهش انرژی آزاد سطحی، شکل آن را کروی نگه دارد، ولی دافعه الکتروستاتیکی ناشی از تجمع بارهای الکتریکی بر سطح قطرک، تمایل دارد شکل قطره را تغییر دهد؛ بنابراین قطره به شکلی درمی‌آید که مجموع نیروی دافعه الکتروستاتیکی و انرژی آزاد سطحی آن، کمینه باشد [۲۹].

در فرایند الکتروریسی، ولتاژ بحرانی برای تشکیل مخروط بر سر نوک سوزن، به خواص محلول بستگی دارد. هنگامی که از یک محلول گرانزو استفاده می‌شود، ولتاژ بحرانی اعمال شده، باید نیروی دافعه‌ای ایجاد کند که بتواند بر مجموع کشش سطحی محلول و نیروی ویسکوالاستیک آن غلبه کند. شکل مخروطی قطرک، مادامی که مقدار محلول لازم به آن تزریق شود تا جانشین مایع جهش یافته شود، محفوظ باقی می‌ماند. جریان سریع مایع باردار از رأس مخروط خارج می‌شود که می‌تواند در جهت میدان شتاب بگیرد و کشیده شود تا به صفحه جمع کننده برسد.

خواص ویسکوالاستیک مایع باید قادر باشد بر ناپایداری رایلی غلبه کند، در غیر این صورت این ناپایداری، باعث گستگی جریان شتاب‌دار مایع به قطرهایی می‌شود [۳۰]. حرکت بارهای الکتریکی سطحی به همراه جریان شتاب‌دار مایع ایجاد جریان الکتریکی در آن می‌کند. سرعت جریان شتاب‌دار مایع در انتهای مرحله خطی خود، در حدود 1 تا 15 متر بر ثانیه محاسبه شده است. بخش مستقیم جریان شتاب‌دار مایع در حدود 30 میلی‌متر است که با کاهش ولتاژ، مقدار آن کاهش می‌یابد. طی شتاب‌گرفتن جریان شتاب‌دار مایع در خط مستقیم، کشش سطحی و نیروی ویسکوالاستیک محلول تمایل دارد تا مانع از حرکت رو به جلوی آن شود [۳۱]؛ بنابراین شتاب حرکت به مرور کاهش می‌یابد و در

جمع‌کننده، تجمع می‌یابند. الکتروریسی مرسوم، معمولاً در حالت میدان-دور (فاصله ۵ تا ۱۵ سانتی‌متر) و ولتاژ بالا (۱۰ تا ۲۰ کیلوولت) انجام می‌شود. در چنین حالتی، لایه‌ای بی‌یافت از نانوالیاف حاصل می‌شود؛ زیرا کترل دقیق محل فروش الیاف مشکل است. جمع‌کننده رسانای جامد، هم به صورت ساکن و هم متحرک به کار برده شده‌اند. جمع‌کننده‌های چرخان، یکی از انواع روش‌های استفاده از جمع‌کننده‌های متحرک هستند که برای تولید نانوالیاف هم‌جوار و یا لایه‌های گسترده از نانوالیاف به کار می‌روند و این امر، به دلیل کشیدگی مکانیکی نانوالیاف جمع‌شده بر روی استوانه چرخان به دلیل سرعت چرخش آن است [۳۵].

۳- روش تحقیق

۱-۳- مواد مصرفی

در این پژوهش از تیتانیم ایزوپروپوکسید (شرکت مرک^۱، ۹۸ درصد)، پلی وینیل پیرولیدون (شرکت سیگما^۲، جرم مولکولی برابر ۳۶۰/۰۰۰ گرم بر مول)، ۲-پروپانول (شرکت مرک)، اتانول (شرکت مرک، ۱۰۰ درصد)، استیک اسید گلاسیال (شرکت مرک، ۹۹ درصد)، سرنگ پلی‌اتیلنی ۱۰ میلی‌لیتر و سوزن تزریقی G۲۱ استفاده شده است.

۲-۳- تجهیزات

دستگاه الکتروریسی (series I، شرکت نانوساختار آسیا، ایران)، دستگاه رئومتری MCR-501، شرکت آتنون پار، اتریش) و میکروسکوپ الکترونی روبشی^۳ (VEGA II TESCAN، جمهوری چک) مورد استفاده قرار گرفتند.

۳-۳- روش کار

محلول‌های سُل، مطابق روش ارائه شده در مقالات قبلی [۱۱ و ۱۲] تهیه شدند. به طور خلاصه، برای تهیه محلول‌های سُل، از مقادیر ثابت پیش‌ماده تیتانیم ایزوپروپوکسید ۱۰ میلی‌لیتر از محلول ۱۰ درصد حجمی در بوتانول) در محیط غیر آبی شامل حلال ۲-پروپانول (۷ میلی‌لیتر)، استیک اسید

شدن، تشکیل می‌شوند که یا از طریق تبخیر حلال یا سرد شدن مذاب است. وقتی جامد شدن الیاف به کنندی صورت گیرد، طویل شدن آن‌ها می‌تواند در مدت زمان بیشتری ادامه یابد که به تشکیل الیاف با قطر کمتر منجر می‌شود. مشاهده شده که بزرگی قطر لیف جامد شده در اثر کشیدگی و تبخیر حلال، در حدود $10^3 \times 1/3$ برابر از قطر اولیه جریان سریع مایع، کمتر شده است [۲۳]. پس از جامد شدن، بارهای الکتریکی همچنان بر سطح لیف خشک شده محبوس هستند، اما تمام آن ناپایداری‌ها متوقف می‌شود.

آخرین مرحله فرایند الکتروریسی، نشاندن الیاف بر روی صفحه جمع‌کننده دارای اتصال به زمین است. شکل الیاف، تابع ناپایداری خمی‌ای است که طی آن مرحله، روی صفحه جمع‌کننده می‌نشینند. الیاف را می‌توان طی مرحله اولیه تشکیل حلقه که شامل ناپایداری مرحله اول است، جمع‌آوری کرد که به صورت لایه‌ای بی‌یافت بر سطح جمع‌کننده ساکن یا متحرک جمع می‌شوند. اگرچه الیاف را می‌توان در مرحله تشکیل مارپیچ در ناپایداری‌های ناحیه دوم و سوم که الگوی پیچیده‌ای به خود می‌گیرند نیز، جمع‌آوری کرد که الیافی به شکل مستقیم، موج‌دار یا با مارپیچ‌های متعدد حاصل می‌شوند. پس از نشستن الیاف بر جمع‌کننده، قسمت اعظم بارها از طریق اتصال به زمین، به سرعت تخلیه می‌شوند؛ اما به دلیل رسانایی کم مواد تشکیل دهنده الیاف، بارهای سطحی روی نانوالیاف باقی می‌مانند [۳۴]. بارهای باقی‌مانده بر روی نانوالیاف تمایل دارند تا بارهای الکتریکی همنام با خود را در جریان سریع مایع، دفع کنند؛ بنابراین ضخامت لایه نباشه از الیاف الکتروریسی شده، در بیشترین حالت به ۱ میلی‌متر می‌رسد [۵].

تشکیل الیاف الکتروریسی شده و کترل قطر آن‌ها، توسط پارامترهایی از قبیل ولتاژ اعمال شده، فاصله بین نوک سوزن تا سطح جمع‌کننده، غلظت محلول و سرعت تزریق آن، انجام می‌شود. به طور کلی، تداخل پارامترهای مؤثر در فرایند الکتروریسی باعث کترل شکل و قطر نانوالیاف می‌شود. درنتیجه، باید تمام پارامترها را بهینه کرد تا بتوان فرایند الکتروریسی را کترل کرد.

طی روش الکتروریسی، فاصله بین نوک سوزن تا صفحه جمع‌کننده، تعیین کننده مراحله‌ای است که الیاف بر روی

¹ Merck

² Sigma

³ Scanning Electron Microscope

الکتروریسی بر روی ورق آلمینیومی و به مدت ۱ ساعت انجام شد. بقیه شرایط الکتروریسی برای نمونه‌های تهیه شده، به شرح جدول (۱) است. در این آزمایشات قطر سوزن نیز یکسان (G21) انتخاب شد تا از کاهش یا افزایش قطر الیاف به دلیل تغییر قطر داخلی سوزن اجتناب شود.

جدول ۱. شرایط الکتروریسی نانوالیاف TiO_2/PVP برای صفحه ساکن و استوانه چرخان با سرعت ۵۰۰ دور در دقیقه

کد نمونه	سرعت تزریق (میلی- لیتر بر ساعت)	فاصله (سانتی‌متر)	ولتاژ (کیلوولت)
3AC10	۰/۵	۱۰	۱۰
5AC15	۰/۸	۹	۱۵
7AC15	۰/۸	۹	۱۵
3A*	۰/۵	۱۲	۱۰
5A**	۰/۸	۱۲	۱۵
7A	۰/۸	۹	۱۵

مرجع ۱۲^(*) مرجع ۱۱^(**)

۴- نتایج و بحث

کسب موفقیت در الکتروریسی محلول‌های پلیمری و تولید نانوالیافی با ساختار و شکل موردنظر، با کنترل مجموعه‌ای از پارامترهای مربوط به پلیمر، حلال، محلول پلیمری، پارامترهای فرایند و شرایط محیطی حاصل می‌شود. غلاظت پلیمر، بر گرانروی و کشش سطحی محلول تأثیر می‌گذارد و هر دوی این عوامل، بر شکل و قطر الیاف حاصل، اثرگذارند. با افزایش غلاظت محلول پلیمری، به دلیل افزایش درهم‌رفتگی زنجیره‌ای و گرانروی، الیاف یکنواخت تشکیل می‌شود. همچنین کاهش گرانروی و کشش سطحی محلول باعث تشکیل الیاف نازک‌تر می‌شود. مقادیر گرانروی محلول‌های سُل تهیه شده با درصدهای وزنی مختلف پلیمر PVP در جدول (۲) نشان داده شده است.

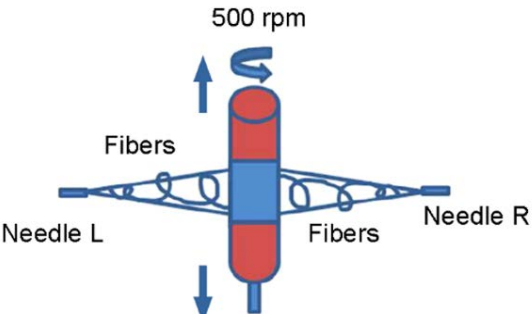
جدول ۲. تغییرات گرانروی محلول‌های سُل TIP/PVP نسبت به غلاظت پلیمر [۱۲]

کد محلول سُل	7A	5A	3A
گرانروی (سانتی پواز)	۲۹۱/۱	۱۱۹/۵	۲۸/۱

گلاسیال (۴ میلی‌لیتر) و ۳، ۵ و ۷ درصد وزنی پلیمر پلی‌وینیل-پیرولیدون (PVP) استفاده شد. سُل‌های تهیه شده به ترتیب ۳A، ۵A و 7A نام‌گذاری شدند.

همان‌طور که مشاهده می‌شود، در تهیه سُل‌ها، مقدار تیتانیم ایزوپروپوکسید (TIP) ثابت و درصد وزنی پلیمر تغییر می‌کند تا تأثیر هم‌زمان غلاظت پلیمر و نوع سطح جمع‌کننده بر روی ریخت‌شناسی نانوالیاف بررسی شود. برای دست‌یافتن به الیاف بدون‌دانه، گرانروی محلول باید مناسب باشد که این امر در گرو استفاده از مقدار کافی پلیمر با وزن مولکولی مناسب است.

برای الکتروریسی از دستگاهی شامل سامانه‌ای با دو سوزن تزریق استفاده شد که به صورت افقی روبروی یکدیگر تعییه شده و هر کدام به یک سرنگ جداگانه پلی‌اتیلنی حاوی محلول سُل یکسان متصل بودند. یک استوانه چرخان با قطر ۵۰ میلی‌متر که سطح آن با ورق آلمینیومی پوشانده شده بود در ناحیه بین دو سوزن و به فاصله مساوی ۱۰ سانتی‌متر از هریک، قرار داشت که به عنوان جمع‌کننده نانوالیاف به کار می‌رفت. طرحواره این سامانه الکتروریسی در شکل (۲) نشان داده شده است.



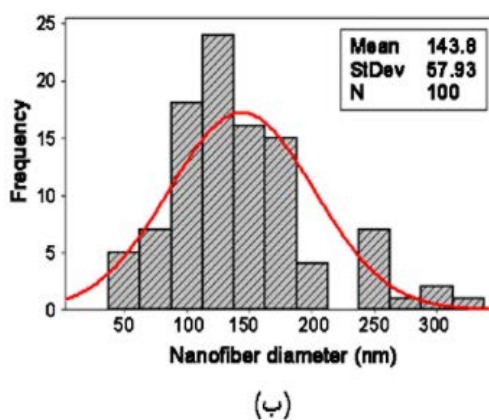
شکل ۲. طرحواره سامانه الکتروریسی هم‌زمان با دو سوزن یکسان و مقابله هم بر روی استوانه چرخان

این مجموعه، درون یک محفظه عایق قرار داشت. سرعت چرخش این استوانه قابل تنظیم بود که در این آزمایش از سرعت ۵۰۰ دور در دقیقه استفاده شد. برای جلوگیری از تجمع منطقه‌ای نانوالیاف بر سطح استوانه چرخان، پایه نگهدارنده آن دارای تنظیمات برای اعمال یک حرکت رفت و برگشتی خطی درجهت افقی در امتداد محور استوانه بود که برای هر آزمایش، به مقدار ۰/۵ میلی‌متر بر ثانیه تنظیم شد.

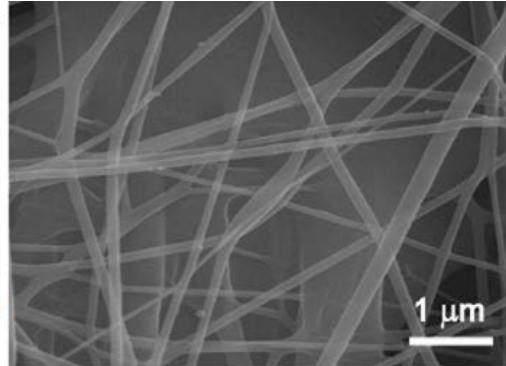
ماتریس پلیمری تشکیل می‌شود و نانوالیاف مت Shank از فاز معدنی-پلیمری به دست می‌آید [۱۱].

برای بررسی ریخت‌شناسی نانوالیاف TiO_2/PVP از میکروسکوپ الکترونی روبشی (SEM) استفاده شد و سطح نمونه‌ها قبل از انجام آزمایش، با لایه‌ای از طلا پوشش داده شد. قطر نانوالیاف به کمک نرم‌افزار ImageJ تعیین گردید و میانگین قطر نانوالیاف با ۱۰۰ بار اندازه‌گیری در هر تصویر میکروسکوپ الکترونی روبشی محاسبه شد. با استفاده از داده‌های به دست آمده و به کمک نرم‌افزار Minitab منحنی توزیع قطر نانوالیاف برای هر نمونه رسم گردید.

در شکل (۳) تصویر میکروسکوپ الکترونی روبشی نانوالیاف الکتروریسی شده TiO_2/PVP مربوط به نمونه ۳AC10 بر ورق آلومینیومی مستقر بر استوانه چرخان با سرعت چرخش ۵۰۰ دور در دقیقه و نیز منحنی توزیع قطر نانوالیاف نشان داده شده است.



(ب)



(الف)

شکل ۳. (الف) تصویر میکروسکوپ الکترونی روبشی نانوالیاف الکتروریسی شده TiO_2/PVP مربوط به نمونه ۳AC10 بر صفحه آلومینیومی تحت ولتاژ ۱۰ کیلوولت، سرعت تزریق ۵۰ میلی‌لیتر در ساعت، فاصله ۱۰ سانتی‌متر و سرعت چرخش ۵۰۰ دور در دقیقه، (ب) منحنی توزیع قطر نانوالیاف الکتروریسی شده TiO_2/PVP

ساختار نانوالیاف الکتروریسی شده TiO_2/PVP برای صفحه تخت ساکن، به دلیل پایین بودن ولتاژ (۱۰ کیلوولت) و کم بودن گرانروی محلول سُل ۳A، به شکل لوله ناقص مشاهده شد [۱۲]؛ در حالی که برای نانوالیاف تولید شده با استوانه چرخان، ساختار الیاف، منسجم بوده و بندرت ساختار دوکی شکل دیده می‌شود که به واسطه پایین بودن گرانروی محلول الکتروریسی ۳A است. با کاهش غلظت محلول و درنتیجه، کاهش گرانروی آن، میزان تحرک پذیری زنجیره‌های

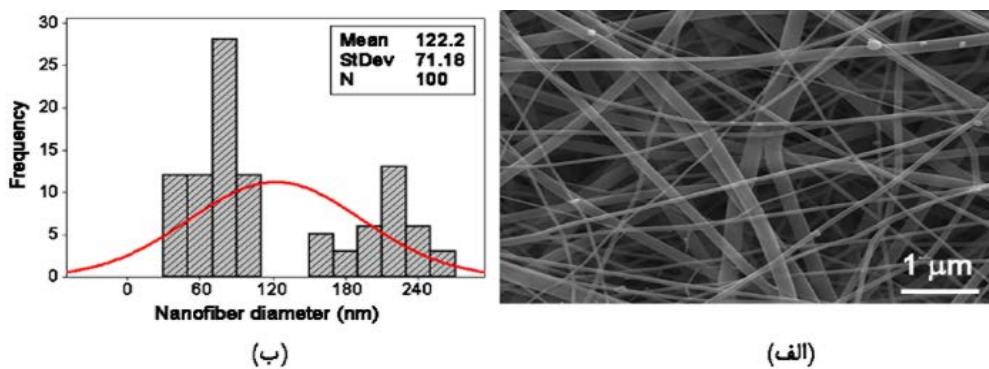
استفاده از پیش‌ماده آلكوكسید فلزی در محلول سُل، (در اینجا، تیتانیم تترا ایزوپروپوکساید (TIP)) این امکان را فراهم می‌کند که واکنش‌های آب‌کافت - تراکم، حین فرایند الکتروریسی انجام شود و ذرات بی‌شكل اکسید تیتانیم (TiO_2) در داخل الیاف تشکیل شوند [۱۱].

معمولًا از یک اسید معدنی مثل اسید استیک یا اسید کلریدریک برای پایداری محلول سُل استفاده می‌شود تا واکنش‌های آب‌کافت - تراکم و ژل شدن را کنترل کنند [۳۶]؛ زیرا واکنش سریع آب‌کافت به بسته شدن مجرای سوزن منجر می‌شود، در حالی که ژل شدن باعث تشکیل جریان سریع مایع غیر قابل کشیدن و الیاف ضخیم می‌گردد. از این‌رو، واکنش‌های آب‌کافت - تراکم باید در جریان سریع مایع که در تماس با محیط قرار می‌گیرد، صورت گیرد [۳۶]. تحت این شرایط، شبکه پیوسته‌ای از فاز معدنی (در اینجا، تیتانیم دی‌اکسید) در

همان‌طور که در شکل (۳) مشاهده می‌شود، میانگین قطر نانوالیاف TiO_2/PVP به همراه انحراف معیار آن در نمونه ۳AC10 58 ± 144 نانومتر به دست آمده است که در مقایسه با میانگین قطر نانوالیاف تولید شده نمونه مشابه با صفحه تخت ساکن [۱۲] به مقدار 44 ± 171 نانومتر (جدول ۳)، کاهشی در مقدار قطر نانوالیاف الکتروریسی شده TiO_2/PVP برای استوانه چرخان مشاهده می‌شود که آن را می‌توان به اثر کشندگی مضاعف حرکت چرخشی استوانه نسبت داد [۷].

مشاهده می‌شود، میانگین قطر نانوالياف TiO_2/PVP به همراه انحراف معیار آن برای نمونه ۵AC15 122 ± 71 نانومتر به دست آمده است که از مقایسه آن با میانگین قطر نانوالياف TiO_2/PVP نمونه به دست آمده با صفحه تخت ساکن [۱۲] به مقدار 85 ± 191 (جدول ۳)، نتیجه‌گیری می‌شود که در این آزمایش نیز علی‌رغم افزایش ولتاژ اعمال شده، قطر نانوالياف الکتروریسی شده TiO_2/PVP بر استوانه چرخان نسبت به نانوالياف جمع‌شده بر صفحه تخت ساکن، کاهش یافته است.

شکل ۴ (الف) وجود دو نوع نانوالياف با قطر زیاد و کم را به خوبی نشان می‌دهد و منحنی توزیع قطر نانوالياف (شکل ۴(ب))، دو قله‌ای بودن این توزیع را به خوبی نشان می‌دهد. این مسئله به دلیل افزایش ولتاژ است که منجر به تولید جریان سریع مایع با شاخه‌های جانبی باریک‌تر، می‌شود [۱۱].



شکل ۴. (الف) تصویر میکروسکوپ الکترونی روبشی نانوالياف الکتروریسی شده نمونه ۵AC15 بر صفحه آلومینیومی، تحت ولتاژ ۱۵ کیلوولت، سرعت تزریق $8/8$ میلی لیتر در ساعت، فاصله 10 سانتی‌متر و سرعت چرخش 500 دور در دقیقه، (ب) منحنی توزیع قطر نانوالياف الکتروریسی- TiO_2/PVP شده

آزمایش، الیاف باریک‌تری تولید می‌کند. بنابراین برای این نوع از الکتروریسی بر استوانه چرخان، دومین پارامتر مؤثر بر اندازه قطر نانوالياف، سرعت چرخش استوانه است [۴]. همچنین، مقدار انحراف معیار نانوالياف TiO_2/PVP تولید شده با استوانه چرخان، کمتر از الیاف مشابه تولید شده با صفحه تخت ساکن است.

به عبارت دیگر وجود الیاف با قطر کم در میان الیاف با قطر بیشتر، باعث همگن‌شدن اندازه حفره‌ها در غشای تولید شده می‌شود [۳۸]. مقادیر متوسط قطر نانوالياف TiO_2/PVP تولید شده، برای مقایسه بهتر در جدول (۳) ارائه شده است.

پلیمری بیشتر شده و محلول پلیمری دچار کشش بیشتری می‌شود [۳۷]؛ از این‌رو، میزان انحراف معیار قطر نانوالياف الکتروریسی شده TiO_2/PVP با استوانه چرخان، بیشتر می‌شود که آن را می‌توان به غیریکنواختی در قطر نانوالياف متسبک کرد. این امر ناشی از حرکت دورانی استوانه جمع‌کننده است که کشیدگی و حرکت مارپیچی مضاعف بر نانوالياف ایجاد می‌کند و چون غلظت محلول و گرانوی آن پایین است، خود را به صورت غیریکنواختی بیشتر در قطر نانوالياف نشان می‌دهد [۴].

در شکل (۴)، تصویر میکروسکوپ الکترونی روبشی نانوالياف الکتروریسی شده نمونه ۵AC15 بر صفحه آلومینیومی مستقر بر استوانه چرخان (با سرعت چرخش 500 دور در دقیقه و ولتاژ 15 کیلوولت) و نیز منحنی توزیع قطر این نانوالياف، نشان داده شده است. همان‌طور که در این شکل

مقایسه دو نمونه نانوالياف ۳A و ۵A نشان می‌دهد که ولتاژ، غلظت پلیمر و سرعت تزریق برای نمونه ۵A افزایش یافته است که تأثیر افزایش این سه پارامتر به افزایش قطر نانوالياف ۵A منجر شده است. برای صفحه تخت ساکن، پارامتر اصلی که بیشترین تأثیر را بر قطر نانوالياف دارد، غلظت محلول (غلظت پلیمر) است و ولتاژ و سرعت تزریق به ترتیب، دومین و سومین پارامتر محسوب می‌شوند [۴].

استفاده از استوانه چرخان برای محلول سل (۵A) نیز به تولید نانوالياف نازک‌تری منجر شده است (نمونه ۵AC15 در شکل ۴ (الف)). این امر ناشی از حرکت دورانی استوانه جمع‌کننده است که در شرایط یکسان

مستقر بر استوانه چرخان، تحت ولتاژ ۱۵ کیلوولت و سرعت تزریق ۰/۸ میلی لیتر در ساعت را نشان می‌دهد.

در این شکل، میانگین قطر نانوالیاف TiO_2/PVP برای نمونه ۷AC15 به همراه انحراف معیار آن، 135 ± 293 نانومتر به دست آمده است که در مقایسه با میانگین قطر نانوالیاف به-دست آمده با صفحه تخت ساکن، 122 ± 258 نانومتر؛ (جدول ۳) مشاهده می‌شود که الیاف تولیدشده با استوانه چرخان، هم متوسط قطر بیشتری دارند و هم انحراف معیار بزرگ‌تری نشان می‌دهند. یک دلیل می‌تواند سرعت تزریق بیشتر باشد. نتایج نشان داده است که افزایش سرعت تزریق، باعث افزایش قطر نانوالیاف می‌شود زیرا ضمن بزرگ‌تر شدن قطرک‌ها، چگالی بار الکتریکی بر سطح آنها کاهش می‌یابد [۳۹]. از طرف دیگر افزایش غلظت پلیمر مستقل از نوع سطح جمع‌کننده، به عنوان مهم‌ترین عامل در افزایش قطر نانوالیاف معرفی شده است [۴] که در این پژوهش، افزایش قطر متوسط نانوالیاف تولیدشده از سل‌های ۳A، ۵A و ۷A برای هر دو نوع جمع‌کننده، در جدول (۳) قابل مشاهده است.

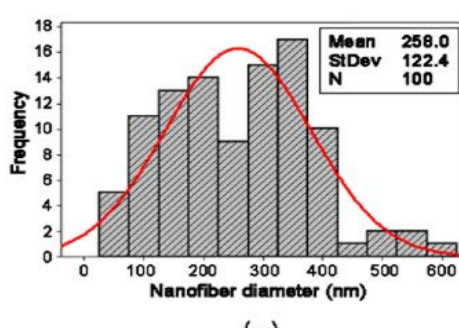
جدول ۳. متوسط قطر نانوالیاف TiO_2/PVP جمع‌شده بر صفحه ساکن و استوانه چرخان برای سل‌های با غلظت‌های ۳، ۵ و ۷ درصد وزنی (PVP)

کدمحلول سل	ولتاژ (کیلوولت)	میانگین قطر نانوالیاف (بر حسب نانومتر) \pm انحراف معیار	
		صفحه ساکن	استوانه چرخان
3A	۱۰	144 ± 58	$*171 \pm 44$
5A	۱۵	122 ± 71	$^{**}191 \pm 85$
7A	۱۵	292 ± 135	258 ± 122

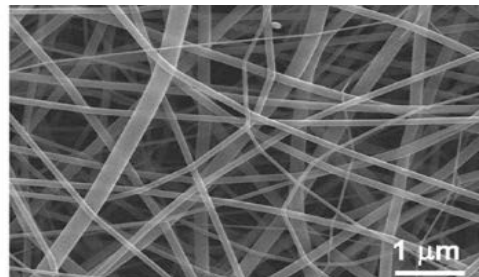
(*) مرجع ۱۲ (**) مرجع ۱۱

شکل (۵) تصویر میکروسکوپ الکترونی رو بشی نانوالیاف الکتروریسی شده سل ۷A بر روی ورق آلمینیومی مستقر بر صفحه تخت ساکن، تحت ولتاژ ۱۵ کیلوولت و سرعت تزریق ۰/۸ میلی لیتر در ساعت را نشان می‌دهد.

شکل (۶) تصویر میکروسکوپ الکترونی رو بشی نانوالیاف الکتروریسی شده سل ۷A بر روی ورق آلمینیومی

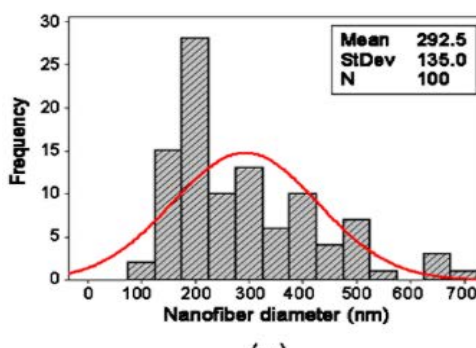


(ب)

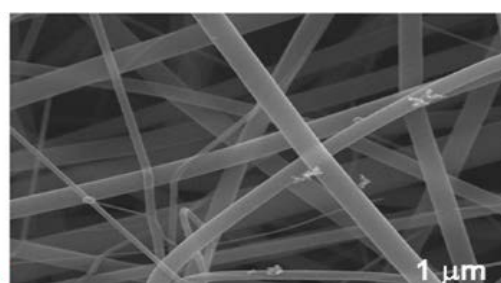


(الف)

شکل ۵. (الف) تصویر میکروسکوپ الکترونی رو بشی نانوالیاف الکتروریسی شده نمونه ۷A بر ورق آلمینیومی بر صفحه تخت ساکن تحت ولتاژ ۱۵ کیلوولت و سرعت تزریق ۰/۸ میلی لیتر در ساعت، (ب) منحنی توزیع قطر نانوالیاف الکتروریسی شده TiO_2/PVP



(ب)



(الف)

شکل ۶. (الف) تصویر میکروسکوپ الکترونی رو بشی نانوالیاف الکتروریسی شده نمونه ۷AC15 بر ورق آلمینیومی مستقر بر استوانه چرخان تحت ولتاژ ۱۵ کیلوولت و سرعت تزریق ۰/۸ میلی لیتر در ساعت، (ب) منحنی توزیع قطر نانوالیاف الکتروریسی شده TiO_2/PVP

1. Lavielle, N., Hebraud, A., Schlatter, G., Thöny-Meyer, L., Rossi, R. M., Popa, A. -M., "Simultaneous electrospinning and electrospraying: A straightforward approach for fabricating hierarchically structured composite membranes", *ACS Applied Materials and Interfaces*, Vol. 5, No. 20, (2013), 10090-10097. <https://doi.org/10.1021/am402676m>
2. Sabzroo, N., Rohani Bastami, T., Karimi, M., Heidari, T., "Optimization of electrospinning conditions for magnetic poly (acrylonitrile- co- acrylic acid) nanofibers", *Journal of Nanostructures*, Vol. 9, No. 2, (2019), 301-315. https://jns.kashanu.ac.ir/article_88811_07646726d890973ed0474d837f648ac3.pdf
3. Alfaro De Pra, M. A., Ribeiro-do-Valle, R. M., Maraschin, M., Veleirinho, B., "Effect of collector design on the morphological properties of polycaprolactone electrospun fibers", *Materials Letters*, Vol. 193, No. 1, (2017), 154-157. <https://doi.org/10.1016/j.matlet.2017.01.102>
4. Yıldız Çavdar, F., Uğuz, A., "Comparative study of electrospinning process for two different collectors: the effect of the collecting method on the nanofiber diameters", *Mechanical Engineering Journal*, Vol. 6, No. 1, (2019), 18-00298. <https://doi.org/10.1299/mej.18-00298>
5. Filatov, Y., Budya, A., Kirichenko, V., *Electrospinning of Micro-and Nanofibers: Fundamentals in Separation and Filtration Processes*, Begell House Publishers, USA, (2007). <http://www.begellhouse.com/books>
6. Katta, P., Alessandro, M., Ramsier, R. D., Chase, G. G., "Continuous electrospinning of aligned polymer nanofibers onto a wire drum collector", *Nano Letter*, Vol. 4, No. 11, (2004), 2215-2218. <https://doi.org/10.1021/nl0486158>
7. Zaarour, B., Zhu, L., Huang, C., Jin, X., "Enhanced piezoelectric properties of randomly oriented and aligned electrospun PVDF fibers by regulating the surface morphology", *Journal of Applied Polymer Science*, Vol. 136, No. 6, (2019), 47049. <https://doi.org/10.1002/app.47049>
8. Sarlak, N., Nejad, M. A. F., Shakhesi, S., Shabani, K. "Effects of electrospinning parameters on titanium dioxide nanofibers diameter and morphology: An investigation by Box-Wilson central composite design (CCD)", *Chemical Engineering Journal*, Vol. 210, (2012), 410-416. <https://doi.org/10.1016/j.cej.2012.08.087>
9. Farhang Dehghan, S., Maddah, B., Golbabaei, F., "The development of nanofibrous media filter containing nanoparticles for removing particles from air stream", *Iranian Journal of Health and Environment*, Vol. 8, No. 4, (2016), 509-524. (In Farsi). <http://ijhe.tums.ac.ir/article-1-5511-en.html>
10. Mali, S. S., Shim, C. S., Kim, H., Patil, J. V., Ahn, D. H., Patil, P. S., Hong, C. K., "Evaluation of various diameters of titanium oxide nanofibers for efficient dye sensitized solar cells synthesized by electrospinning technique: A systematic study and their application", *Electrochimica Acta*, Vol. 166, (2015), 356-366. <https://doi.org/10.1016/j.electacta.2015.03.113>
11. Mirmohammad Sadeghi, S., Vaezi, M., Kazemzadeh, A., Jamjah, R., "Morphology enhancement of TiO₂/PVP composite nanofibers based on solution viscosity and processing parameters of electrospinning method", *Journal of Applied Polymer Science*, Vol. 135, No. 23, (2018), 46337. <https://doi.org/10.1002/app.46337>
12. Mirmohammad Sadeghi, S., Vaezi, M., Kazemzadeh, A., Jamjah, R., "Effects of polymer concentration on rheological behavior of TiO₂/PVP sol solutions and morphology of electrospun nanofibers", *Proceedings of Ith International Conference on Rheology (ICOR 2019)*, Tehran, Iran, (17-18 Dec. 2019).
13. Im, J. S., Kim, M. I., Lee, Y. S., "Preparation of PAN-based electrospun nanofiber webs containing TiO₂ for photocatalytic degradation", *Materials Letters*, Vol. 62, No. 21-22, (2008), 3652-3655. <https://doi.org/10.1016/j.matlet.2008.04.019>
14. He, X., Yang, C. P., Zhang, G. L., Shi, D. W., Huang, Q. A., Xiao, H. B., Liu, Y., Xiong, R., "Supercapacitor of TiO₂ nanofibers by electrospinning and KOH treatment", *Materials & Design*, Vol. 160, No. 1, (2016), 74-80. <https://doi.org/10.1016/j.matdes.2016.05.025>
15. Tohidloo, M. H., Shafiei, S. S., Shiraliipour, F., "Preparation and evaluation of polycaprolactone /amine functionalized carbon nanotube electrospun nanocomposite scaffold containing

هادی و همکاران [۴۰] مشاهده کردند که با افزایش ولتاژ، ناپایداری‌های خمشی در جریان سریع محلول پلیمری افزایش می‌یابد و این امر از میزان موازی بودن نانوالیاف می‌کاهد که برای رفع این نقیصه، باید سرعت چرخش استوانه جمع‌کننده را افزایش داد. از طرف دیگر، افزایش سرعت چرخش استوانه، ضمن موازی کردن نانوالیاف باعث باریکتر شدن آنها می‌شود [۲].

۵- نتیجه‌گیری

در این پژوهش، تأثیر نوع جمع‌کننده و غلظت پلیمر بر میانگین قطر نانوالیاف الکتروریسی‌شده TiO₂/PVP و میزان انحراف معیار آنها بررسی شده است. در فرایند الکتروریسی، از استوانه چرخان و صفحه تحت ساکن استفاده شد و نانوالیاف بر روی ورق آلومینیومی تولید شدند. سرعت چرخش استوانه ۵۰۰ دور در دقیقه بود. مشاهده شد که چرخش استوانه جمع‌کننده در مقایسه با صفحه تحت ساکن برای محلول سلول با غلظت‌های پایین پلیمر (هرگاه دیگر پارامترها یکسان نگه داشته شوند)، موجب تولید نانوالیاف با قطر کمتر می‌شود. در غلظت‌های بالاتر پلیمر، نانوالیاف الکتروریسی‌شده TiO₂/PVP با استوانه چرخان نسبت به نمونه‌های تولید شده با صفحه تحت ساکن، قطر بیشتری داشتند که نتیجه‌گیری می‌شود با افزایش غلظت پلیمر، باید سرعت چرخش استوانه جمع‌کننده را افزایش داد تا بتوان الیاف باریک‌تری تولید کرد.

۶- سپاسگزاری

این پژوهش بخشی از پروژه دکتری نویسنده اول است که تحت کد پروژه ۷۸۱۳۹۲۰۵۴، در پژوهشگاه مواد و انرژی انجام شده است. همچنین از حمایت مالی شرکت مهندسی «دریا فن شیمی» در این پروژه قدردانی می‌شود. نانوالیاف الکتروریسی‌شده TiO₂/PVP به وسیله دستگاه الکتروریسی مستقر در آزمایشگاه پلاستیک پژوهشگاه پلیمر و پتروشیمی ایران تهیه شده بود، که بدین وسیله تشکر می‌شود.

- Society*, Vol. 125, No. 5, (2003), 1154-1155. <https://doi.org/10.1021/ja028983i>
28. Li, D., Wang, Y., Xia, Y., "Electrospinning of polymeric and ceramic nanofibers as uniaxially aligned arrays", *Nano Letters*, Vol. 3, No. 8, (2003), 1167-1171. <https://doi.org/10.1021/nl0344256>
29. Xue, J., Xie, J., Liu, W., Xia, Y., "Electrospun nanofibers: New concepts, materials, and applications", *Accounts of Chemical Research*, Vol. 50, No. 8, (2017), 1976-1987. <https://doi.org/10.1021/acs.accounts.7b00218>
30. Reneker, D. H., Fong, H., (Eds.), *Polymeric Nanofibers*, ACS Symposium Series, Washington, DC, USA, Vol. 918, (2006). <https://doi.org/10.1021/bk-2006-0918.ch001>
31. Reneker, D. H., Yarin, A. L., "Electrospinning jets and polymer nanofibers", *Polymer*, Vol. 49, No. 10, (2008), 2387-2425. <https://doi.org/10.1016/j.polymer.2008.02.002>
32. He, J. -H., Wu, Y., Zuo, W. -W., "Critical length of straight jet in electrospinning", *Polymer*, Vol. 46, No. 26, (2005), 12637-12640. <https://doi.org/10.1016/j.polymer.2005.10.130>
33. Shin, Y. M., Hohman, M. M., Brenner, M. P., Rutledge G. C., "Electrospinning: A whipping fluid jet generates submicron polymer fibers", *Applied Physics Letters*, Vol. 78, No. 8, (2001), 1149-1151. <https://doi.org/10.1063/1.1345798>
34. Collins, G., Federici, J., Imura, Y., Catalani, L. H., "Charge generation, charge transport, and residual charge in the electrospinning of polymers: A review of issues and complications", *Journal of Applied Physics*, Vol. 111, No. 4, (2012), 044701. <https://doi.org/10.1063/1.3682464>
35. Persano, L., Camposeo, A., Tekmen, C., Pisignano, D., "Industrial upscaling of electrospinning and applications of polymer nanofibers: A review", *Macromolecular Materials and Engineering*, Vol. 298, No. 5, (2013), 504-520. <https://doi.org/10.1002/mame.201200290>
36. Livage, J., Sanchez, C., Henry, M., Doeuff, S., "The chemistry of the sol-gel process", *Solid State Ionics*, Vol. 32-33, Part 2, (1989), 633-638. [https://doi.org/10.1016/0167-2738\(89\)90338-X](https://doi.org/10.1016/0167-2738(89)90338-X)
37. Gu, S., Ren, J., Vancso, G., "Process optimization and empirical modeling for electrospun polyacrylonitrile (PAN) nanofiber precursor of carbon nanofibers", *European Polymer Journal*, Vol. 41, No. 11, (2005), 2559-2568. <https://doi.org/10.1016/j.eurpolymj.2005.05.008>
38. Patra, S. N., Easteal, A. J., Bhattacharyya, D., "Parametric study of manufacturing poly(lactic) acid nanofibrous mat by electrospinning", *Journal of Material Science*, Vol. 44, No. 2, (2009), 647-654. <https://doi.org/10.1007/s10853-008-3050-y>
39. Someswararao, M. V., Dubey, R. S., Subbarao, P. S. V., Singh, S., "Electrospinning process parameters dependent investigation of TiO₂ nanofibers", *Results in Physics*, Vol. 11, No. 1, (2018), 223-231. <https://doi.org/10.1016/j.rinp.2018.08.054>
40. Hadi, Z., Dabirian, F., Safi, S., Zojajian, A., Firooz, M., "Fabrication of aligned nanofibers by manipulated rotating drum method and studying the effective parameters on fibers alignment by image processing", *Iranian Journal of Polymer Science and Technology*, Vol. 25, No. 5, (2013), 339-350. (In Farsi). <https://doi.org/10.22063/JIPST.2013.606>
- mesenchymal stem cells for use in hard tissue engineering", *Journal of Advance Materials and Technologies (JAMT)*, Vol. 8, No. 4, (2020), 19-30. (In Farsi). <https://doi.org/10.30501/jamt.2020.93226>
16. Zadehnajar, P., Karbasi, S., Akbari, B., Mirmusavi, M. H., "Evaluation of physical and mechanical properties of electrospinning nanocomposite scaffolds poly ε-caprolactone-gelatin/multi walled carbon nanotube", *Journal of Advance Materials and Technologies (JAMT)*, Vol. 7, No. 4, (2019), 93-100. (In Farsi). <https://doi.org/10.30501/jamt.2019.84403>
17. Najafiasl, M., Osfouri, S., Azin, R., Zaeri, S., "Alginate-based electrospun core/shell nanofibers containing dexamphenol: A good candidate for wound dressing", *Journal of Drug Delivery Science and Technology*, Vol. 57, (2020), 101708. <https://doi.org/10.1016/j.jddst.2020.101708>
18. Cao, Y., Tang, P., Han, Y., Qiu, W., "Synthesis of La₂Ti₂O₇ flexible self-supporting film and its application in flexible energy storage device", *Journal of Alloys and Compounds*, Vol. 842, (2020), 155581. <https://doi.org/10.1016/j.jallcom.2020.155581>
19. Khatri, M., Ahmed, F., Ali, S., Mehdi, M., Ullah, S., Duy-Nam, P., Khatri, Z., Kim, I. -S., "Photosensitive nanofibers for data recording and erasing", *The Journal of The Textile Institute*, Vol. 112, No. 3, (2020), 429-438. <https://doi.org/10.1080/00405000.2020.1761681>
20. Dzenis, Y., "Spinning continuous fibers for nanotechnology", *Science*, Vol. 304, No. 5679, (2004), 1917-1919. <https://science.sciencemag.org/content/304/5679/1917>
21. Fong, H., Chun, I., Reneker, D. H., "Beaded nanofibers formed during electrospinning", *Polymer*, Vol. 40, No. 16, (1999), 4585-4592. [https://doi.org/10.1016/S0032-3861\(99\)00068-3](https://doi.org/10.1016/S0032-3861(99)00068-3)
22. Reneker, D. H., Yarin, A. L., Fong, H., Koombhongse, S., "Bending instability of electrically charged liquid jets of polymer solutions in electrospinning", *Journal of Applied Physics*, Vol. 87, No. 9, (2000), 4531-4547. <https://doi.org/10.1063/1.373532>
23. Shin, Y. M., Hohman, M. M., Brenner, M. P., Rutledge, G. C., "Experimental characterization of electrospinning: the electrically forced jet and instabilities", *Polymer*, Vol. 42, No. 25, (2001), 09955-09967. [https://doi.org/10.1016/S0032-3861\(01\)00540-7](https://doi.org/10.1016/S0032-3861(01)00540-7)
24. Hohman, M. M., Shin, M., Rutledge, G. C., Brenner, M. P., "Electrospinning and electrically forced jets. I. Stability theory", *Physics of Fluids*, Vol. 13, No. 8, (2001), 2201-2220. <https://doi.org/10.1063/1.1383791>
25. Hohman, M. M., Shin, M., Rutledge, G. C., Brenner, M. P., "Electrospinning and electrically forced jets. II. Applications", *Physics of Fluids*, Vol. 13, No. 8, (2001), 2221-2236. <https://doi.org/10.1063/1.1384013>
26. Dai, H., Gong, J., Kim, H., Lee D., "A novel method for preparing ultra-fine alumina–borate oxide fibres via an electrospinning technique", *Nanotechnology*, Vol. 13, No. 5, (2002), 674-677. <https://doi.org/10.1088/0957-4484/13/5/327>
27. Larsen, G., Velarde-Ortiz, R., Minchow, K., Barrero, A., Loscertales, I. G., "A method for making inorganic and hybrid (organic/inorganic) fibers and vesicles with diameters in the submicrometer and micrometer range via sol-gel chemistry and electrically forced liquid jets", *Journal of American Chemical Society*, Vol. 125, No. 42, (2003), 13030-13036. <https://doi.org/10.1021/ja034500n>